

Méthodes de résolution des équations normales, ou d'observations

G. Balmino , CNES-GRGS

*Ecole d'été du GRGS
« Détermination du champ de gravité terrestre
par les nouvelles missions spatiales »*

Forcalquier, 2-6 Septembre 2002

Première Partie

RESOLUTION EXPLICITE DES EQUATIONS

Seconde Partie

METHODES ITERATIVES ET SEMI-ITERATIVES



*Logiciel DYNAMO
(modules D, DGC,...)*

(cf. cours de J.M.Lemoine, J.C. Marty)

Première Partie

RESOLUTION EXPLICITE DES EQUATIONS

1. Résolution classique des équations normales :
. méthode de Cholesky

2. Résolution à partir des équations d'observations :
. décomposition Q-R
(algorithms : Householder, Givens)
. combinaison de décompositions

Solution des problèmes de moindres carrés de grande taille

Systeme : \mathbf{m} équations , \mathbf{n} inconnues , $\mathbf{m} > \mathbf{n}$

$$\underline{A} x = \underline{b} \quad ; \quad \text{matrice de poids} : \Pi$$

$$\longleftrightarrow \quad A x = b \quad ; \quad A = \Pi^{1/2} \underline{A} \quad ; \quad b = \Pi^{1/2} \underline{b}$$

Solution par moindres carrés

1. Classique : Equations normales: $\overbrace{A^T A}^{s.d.p.} x = A^T b$

puis décomposition de Cholesky de $N = R_N^T \cdot R_N$

2. Par transformations orthogonales : $A = Q R$

Q : orthogonale , $= Q_1 \cdot Q_2 \cdot \dots \cdot Q_r$ ($r \leq n$) and $R = \begin{matrix} R^* \\ \hline 0 \end{matrix}$ ($R^* = R_N$)

Chaque Q_k^T : matrice de Householder ou Givens

Puis : $R^{*T} y = A^T b \rightarrow y$, et $R^* x = y \rightarrow x$, et $cov(x) = R_N^{-1} R_N^{-T}$

$v = (v_i)$ est un **n**-vector

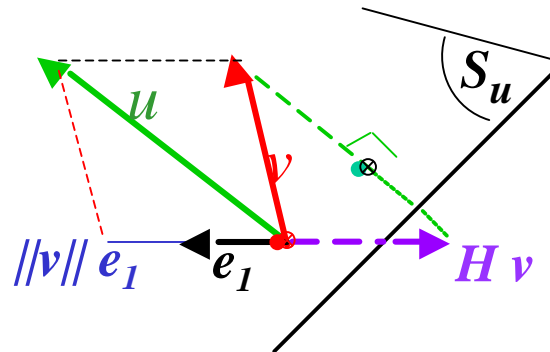
Householder

$$e_1 = [1 \ 0 \ 0 \ \dots \ 0]^T$$

$$u = v + \varepsilon \|v\| e_1 ; \quad (\varepsilon = +1 \text{ si } v_1 \geq 0, \varepsilon = -1 \text{ si } v_1 < 0)$$

$$H = I_n - 2 u u^T / (u^T u) \rightarrow H v = -e \|v\| e_1$$

= Symétrie / sous-espace S_u , dim. = **n**-1, orthogonal à u : $Hu = -u$; $Hs = s$ ($s \in S_u$)



Givens

$$G_{ij} = \delta_{ij} [1 + (c-1)(\delta_{iI} + \delta_{jJ})] + (s-1)(\delta_{iI} \delta_{jJ} - \delta_{iJ} \delta_{jI})$$

$$\text{avec } c = v_I / (v_I^2 + v_J^2)^{1/2}, \quad s = v_J / (v_I^2 + v_J^2)^{1/2}$$

= Rotation dans le plan $\{e_I, e_J\}$: $v_I \rightarrow 1$; $v_J \rightarrow 0$

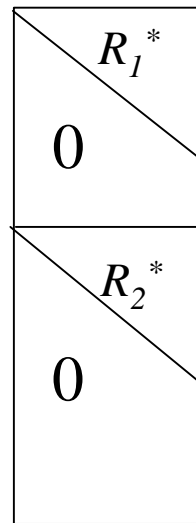
Combinaison de matrices R

(= analogie avec combinaison de systèmes normaux)

$$A_1 x = b_1 \rightarrow R_1 x = Q_1^T b_1$$

$$A_2 x = b_2 \rightarrow R_2 x = Q_2^T b_2$$

$$\begin{bmatrix} R_1 \\ R_2 \end{bmatrix} x = \begin{bmatrix} Q_1^T b_1 \\ Q_2^T b_2 \end{bmatrix} = b_{12}$$



G : plus adapté



$$Q_{12} R_{12} x = b_{12}$$

etc ...

Avantages -inconvénients des deux méthodes

Avantages

Inconvénients

Eq. normales + Cholesky

- | | |
|---|---|
| <ul style="list-style-type: none">- facilités de programmation- existence de logiciels en bibliothèques « out-of-core » (+ Cholesky par blocs) | <ul style="list-style-type: none">- temps de formation eq. norm. $\mathbf{m n^2/2}$ op. (+*)- perte de précision (à la formation) |
|---|---|

Eq. d 'observ. + QR

- | | |
|--|---|
| <ul style="list-style-type: none">- grande précision | <ul style="list-style-type: none">- temps de calcul : $\mathbf{m n^2}$ op.- peu d 'expérience avec les très grands systèmes- programmation complexe pour syst. de rang $r < n$, surtout en « out-of-core » |
|--|---|

METHODES ITERATIVES ET SEMI-ITERATIVES

I- METHODES ITERATIVES GENERALES

1. Principes
2. Trois méthodes générales
 - 2.1. *Jacobi (J)*
 - 2.2. *Gauss-Seidel (GS)*
 - 2.3. *Sur-relaxations successives (SOR)*

II- METHODES DE GRADIENT POUR SYSTEMES S.D.P.

1. Principes
2. Descente rapide (SD)
3. Gradients conjugués (CG)
4. Adaptation de CG aux problèmes de moindres carrés

III- APPLICATIONS :

1. Rappels
2. Méthode de Jacobi par blocs (BJ)
3. Gradients conjugués préconditionnés (PCG)
4. Adaptations de BJ et PCG au traitement direct des équations d'observation
5. Méthodes BJ - *comb* et PCG - *comb* dans un contexte de parallélisation

Quelques remarques en conclusion

I - METHODES ITERATIVES GENERALES

1. PRINCIPES

$n \sim 10^3, 10^4, 10^5, \dots$

$Ax = b$: A ($n \times n$), b ($n \times 1$), x ($n \times 1$)

*Attention ! Notations différentes
de la 1.ère partie
 $A =$ matrice normale*

Calcul direct de A^{-1} : temps $\sim o(n^3)$ + pb. Mémoire centrale vs. I/O

Supposons : $M \approx A$ (à préciser) ; M simple (facile à inverser)
 x_0 donné (par ex. $x_0 = M^{-1} b$) ; on pose $x = x_0 + \Delta x$

$$\begin{aligned} \Rightarrow Mx &= Mx - Ax + b \\ &= (M-A)(x_0 + \Delta x) + b = (M-A)x_0 + b + \underbrace{(M-A)\Delta x}_{\text{(négligé)}} \end{aligned}$$

D'où : $Mx_1 = (M-A)x_0 + b$

...

$$Mx^{(k+1)} = (M-A)x^{(k)} + b$$

$$\begin{aligned} \text{ou : } x_{k+1} &= M^{-1} [(M-A)x_k + b] \\ &= x_k - M^{-1} r_k \quad (\text{avec } r_k = Ax_k - b : \underline{\text{résidu}}) \end{aligned}$$

*2 écritures :
 $x^{(k)}$ ou x_k*

Convergence du processus

$$\begin{array}{l}
 M x = (M-A) x + b \\
 M x_{k+1} = (M-A) x_k + b
 \end{array}
 \left. \vphantom{\begin{array}{l} M x = (M-A) x + b \\ M x_{k+1} = (M-A) x_k + b \end{array}} \right\} \rightarrow M (x - x_{k+1}) = (M-A) (x - x_k)$$

ou : $M e_{k+1} = (M-A) e_k$
donc $e_{k+1} = \underbrace{(I - M^{-1} A)}_{= B} e_k$
 = **B** : matrice de « décision » (critique)

 $e_k = B^k e_0$

Si $B = P \Lambda P^{-1}$, avec $\Lambda = \text{diag}(\lambda_i)_i$, $\lambda_i \in \mathbb{C}$
 $B^k = P \Lambda^k P^{-1}$

D'où : $(\Lambda^k \rightarrow \mathbf{0}) \Rightarrow (B^k \rightarrow \mathbf{0}) \Rightarrow (e_k \rightarrow 0)$
 $\Rightarrow x_k \rightarrow x$

Il faut $|\lambda_i| < 1$

Rayon spectral de B : $|\lambda_i|_{\max} = R$

L'estimation de **R** est difficile (bornes seulement, en général)

Calcul de l'inverse de A

Dans l'équation de base on fait les substitutions suivantes :

$$\begin{array}{rcl} x & \rightarrow & A^{-1} \\ b & \rightarrow & I \\ \text{donc : } Ax = b & \rightarrow & A A^{-1} = I \end{array}$$

D'où le schéma itératif :

$$A^{-1}_{k+1} = A^{-1}_k - M^{-1} (A A^{-1}_k - I)$$

Choix de M

M = diagonale de A : Jacobi

M = triangle inférieur de A : Gauss-Seidel

M = triangle inférieur de A
avec diagonale modifiée : Méthode(s) de relaxation



Paragraphe suivant

2.1. Jacobi

$$M = D = \text{diag} (a_{ii})_i$$

$$a_{ii} x_i^{k+1} = - \underbrace{\sum_{j=1}^{i-1} a_{ij} x_j^k}_{\text{si } i > 1} - \underbrace{\sum_{j=i+1}^n a_{ij} x_j^k}_{\text{si } i > n} + b_i$$

Les valeurs propres m_i de $B_J = I - D^{-1} A$ sont de module < 1 .

 $e^k \xrightarrow{\text{red arrow}} 0.$
CV rapide si A est à diagonale dominante

Jacobi est bien adapté à la parallélisation

|| Les calculs sur les lignes sont indépendants
 || d'une ligne à l'autre.

2.2. Gauss-Seidel

Idée

Schéma proche de celui de Jacobi,

mais x_j^{k+1} ($j < i$) est immédiatement utilisé pour calculer x_i^{k+1}

i.e.

$$a_{ii} x_i^{k+1} = - \sum_{j=1}^{i-1} a_{ij} x_j^{k+1} - \sum_{j=i+1}^n a_{ij} x_j^k + b_i$$

$$\iff \sum_{j=1}^i a_{ij} x_j^{k+1} = - \sum_{j=i+1}^n a_{ij} x_j^k + b_i$$

ou :

$$\begin{bmatrix} & & & \mathbf{0} \\ & & & \\ & \mathbf{M} & & \\ & & & \end{bmatrix} \begin{bmatrix} x^{k+1} \end{bmatrix} = \begin{bmatrix} & & & \mathbf{M-A} \\ & & & \\ & \mathbf{0} & & \\ & & & \end{bmatrix} \begin{bmatrix} x^k \end{bmatrix} + \begin{bmatrix} b \end{bmatrix}$$

\mathbf{M} = partie triangulaire inf. de \mathbf{A}

triangle sup. strict
(diag.=0)

\implies Procédure séquentielle : pas de //ation ... mais CV 2* plus rapide que Jacobi

2.3. Sur-relaxations successives (SOR)*Successive Over-Relaxation*

$$\text{G.S.} \quad \dots \quad x_i^{k+1} = \frac{1}{a_{ii}} \left\{ - \sum_{j=1}^{i-1} a_{ij} x_j^{k+1} - \sum_{j=i+1}^n a_{ij} x_j^k + b_i \right\}$$

Idée : Corriger « un peu plus » $x_i^{k+1} - x_i^k$ par un facteur $\mathbf{w} > 1$.

$$\begin{aligned} & a_{i1} x_1^{k+1} + a_{i2} x_2^{k+1} + \dots + a_{i,i-1} x_{i-1}^{k+1} + \frac{a_{ii} x_i^{k+1}}{\mathbf{w}} \\ & = -a_{i,i+1} x_{i+1}^k - a_{i,i+2} x_{i+2}^k - \dots + b_i \\ & \quad + \frac{a_{ii} x_i^{k+1}}{\mathbf{w}} - a_{ii} x_i^{k+1} \end{aligned}$$

remplacés par x_i^k à l'étape en cours ($k+1$)

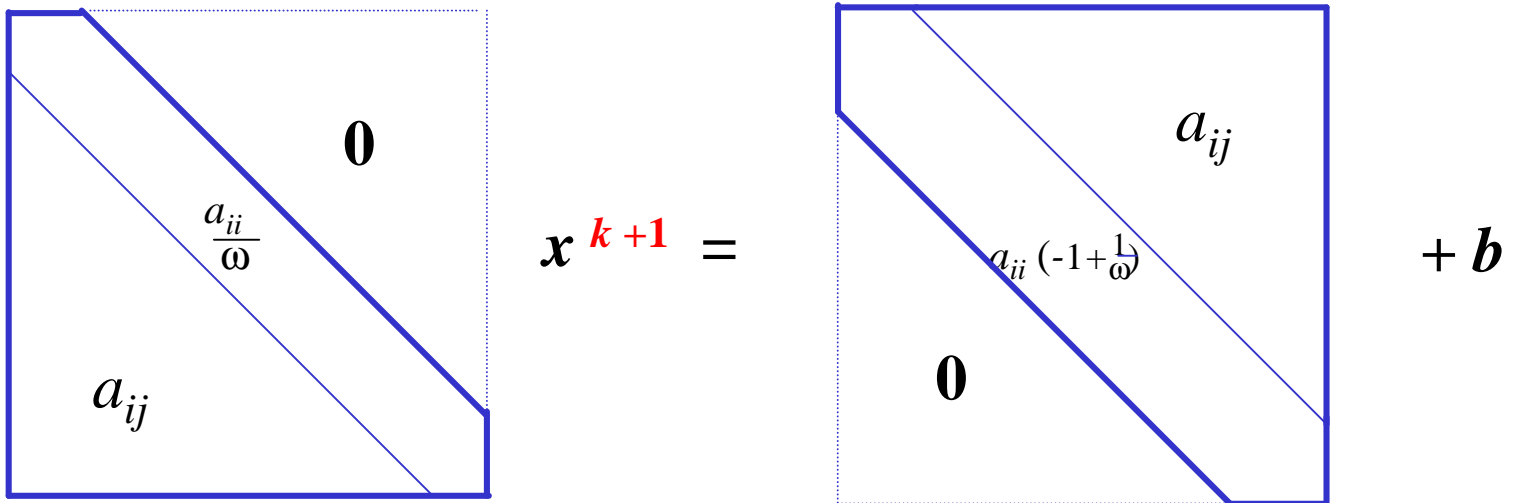
$$\begin{aligned} & a_{i1} x_1^{k+1} + a_{i2} x_2^{k+1} + \dots + a_{i,i-1} x_{i-1}^{k+1} + \frac{a_{ii} x_i^{k+1}}{\mathbf{w}} \\ & = \left(-1 + \frac{1}{\mathbf{w}}\right) a_{ii} x_i^k - a_{i,i+1} x_{i+1}^k - a_{i,i+2} x_{i+2}^k - \dots + b_i \end{aligned}$$

Par suite :

GS \longrightarrow SOR ω

M \dashrightarrow M_ω : a_{ij} remplacé par $a_{ij}^{(\omega)} = a_{ij} / \omega^{d_{ij}}$
 ($j \leq i$)

M-A \dashrightarrow $(M-A)_\omega$: $-a_{ij}$ remplacé par $-a_{ij}^{(\omega)} = (-1 + \frac{d_{ij}}{\omega})a_{ij}$
 ($j \geq i$)



$$B_{SOR} = I - M_{\mathbf{w}}^{-1} A = M_{\mathbf{w}}^{-1} (M_{\mathbf{w}} - A)$$

$$\Rightarrow \text{déterminants : } |B_{SOR}| = |M_{\mathbf{w}}^{-1}| \cdot |M_{\mathbf{w}} - A| = |M_{\mathbf{w}}|^{-1} \cdot |M_{\mathbf{w}} - A|$$

$$\text{avec : } |M_{\mathbf{w}}| = \frac{1}{\mathbf{w}^n} \prod_{i=1}^n a_{ii}$$

$$|M_{\mathbf{w}} - A| = \left(\frac{1-\mathbf{w}}{\mathbf{w}}\right)^n \prod_{i=1}^n a_{ii}$$

$$\text{Donc : } \mathit{abs} |B_{SOR}| = |(1-\mathbf{w})^n| = \prod_{i=1}^n |\lambda_i| < 1 \quad (\text{pour CV})$$

\downarrow avec $\omega > 1$ \downarrow $\omega < 2$

(Dans la pratique $\mathbf{w}=1.9$ est un bon choix...)

Remarque

$$\text{On a : } \mathbf{I}_{\max}^{(SOR)} \leq \frac{2}{1 + \sqrt{1 - \mathbf{m}_{\max}^2}} - 1$$

$$\text{avec } \mathbf{m}_{\max} = \mathbf{I}_{\max}^{(Jacobi)}$$

$$\dots \text{et } \mathbf{w}_{\text{optimal}} = \mathbf{I}_{\max}^{(SOR)} + 1 \quad (\text{Young, 1950})$$

RESUME

On écrit : $A = L + D + U$

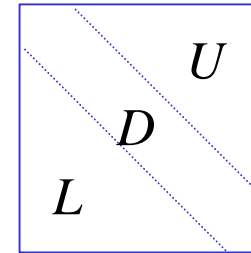


Schéma itératif :

$$F x^{k+1} = G x^k + b, \quad (k=0, 1, 2, \dots, n_{iter})$$

Méthode	F	G
<i>Jacobi</i>	D	$-L - U$
<i>Gauss-Seidel</i>	$L + D$	$-U$
<i>SOR</i>	$L + D/\omega$	$(-1 + 1/\omega)D - U$

L'intérêt est évidemment d'avoir une solution satisfaisante avec un nombre n_{iter} d'itérations petit devant n .

1. PRINCIPES

(cf. *GINS, DYNAMO*)

$$C x = d \quad (1)$$



s.d.p. : sym., (semi-) définie, positive

$$\text{i.e. } x^T C x \geq 0$$

Résoudre (1) est équivalent à chercher le minimum de

$$\Phi(x) = \frac{1}{2} x^T C x - x^T d \quad (2)$$

En effet : $A x = b$, avec $A \leftarrow \sqrt{\Pi} A$

possède la solution x telle que

$2 \Psi(x) = (Ax-b)^T (Ax-b)$: minimum

$$\text{Or } \Psi(x) = \frac{1}{2} x^T \underbrace{A^T A}_{=C} x - x^T \underbrace{A^T b}_{=d} + \frac{1}{2} b^T b = \Phi(x) + \underbrace{\frac{1}{2} b^T b}_{>0}$$

$$\begin{aligned} (2) \text{ minimum } \Rightarrow \quad \mathbf{d} \Phi(x) &= \frac{1}{2} (\mathbf{d}x^T C x + x^T C \mathbf{d}x) - \mathbf{d}x^T d \\ &= \mathbf{d}x^T (C x - d) = 0 \end{aligned}$$

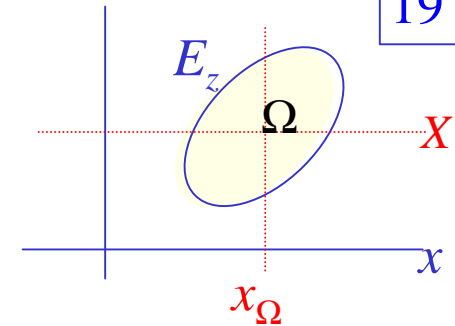
Donc : $\{\Phi'(x) = \text{grad}(\Phi) = 0\} \Leftrightarrow \{C x - d = 0\}$

Si C est s.d.p., $\Phi(x) = z$ définit un ellipsoïde E_z de \mathbf{R}^n

19

Tous les ellipsoïdes ont :

- mêmes directions d'axes (vecteurs propres de C)
- même centre $\Omega \longrightarrow x_\Omega$?



On pose $x = x_\Omega + X$

\Rightarrow supprimer les termes en X (i.e. linéaires)

Donc :

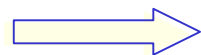
$$\Phi(x) = \Phi(x_\Omega + X) = \frac{1}{2} X^T C X + X^T (C x_\Omega - d) + \frac{1}{2} x_\Omega^T (C x_\Omega - d) - \frac{1}{2} x_\Omega^T d$$

$\Rightarrow \Omega$ défini par : $C x_\Omega - d = 0$

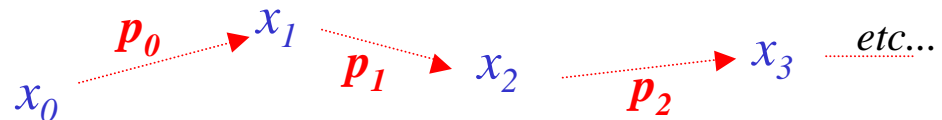
et $\Phi(x)$ est minimum au centre Ω , i.e. en $X=0$

$$\dots \text{ car } \Phi(X) = \frac{1}{2} \underbrace{X^T C X}_{\geq 0} - \frac{1}{2} d^T C^{-1} d$$

Le problème revient à trouver le centre des ellipsoïdes E_z par approximations successives



Cheminement suivant un trajet p_0, p_1, p_2, \dots



TECHNIQUE

- on part de $x_0 \Rightarrow C x_0 - d = r_0$
- on se donne p_0 (direction de « pente ») on verra le choix de p_0

- on pose : $x_1 = x_0 + t_0 p_0$

le facteur d'échelle t_0 est tel que $\Phi(x_1(t_0))$ est minimum

(on aura donc un minimum dans la direction de p_0)

$$\begin{aligned} \text{P } \Phi(x_1(t_0)) &= 1/2 x_1^T C x_1 - x_1^T d \\ &= 1/2 (x_0 + t_0 p_0)^T C (x_0 + t_0 p_0) - (x_0 + t_0 p_0)^T d \\ &= \Phi(x_0) + 1/2 t_0^2 p_0^T C p_0 + t_0 r_0^T p_0 \end{aligned}$$

$\Phi(x_1(t_0))$ min. si :

$$t_0 p_0^T C p_0 + r_0^T p_0 = 0 \quad (3)$$

$$D'où : t_0 = -r_0^T p_0 / (p_0^T C p_0)$$

p_0 non \perp à r_0 , sinon $x_0 \equiv x_1$

On a bien $\Phi(x_1)$ min., car $d^2 \Phi / dt_0^2 = p_0^T C p_0 > 0$.

De plus : $\Phi(x_1) < \Phi(x_0)$

$$\text{en effet } \Phi(x_1) - \Phi(x_0) = 1/2 t_0^2 p_0^T C p_0 + t_0 r_0^T p_0$$

$$= 1/2 (r_0^T p_0)^2 / (p_0^T C p_0) - (r_0^T p_0)^2 / (p_0^T C p_0)$$

$$= -1/2 (r_0^T p_0)^2 / (p_0^T C p_0) < 0. \quad (\text{QED})$$

Propriétés :

$$- \text{grad } \Phi(x_1) = r_1$$

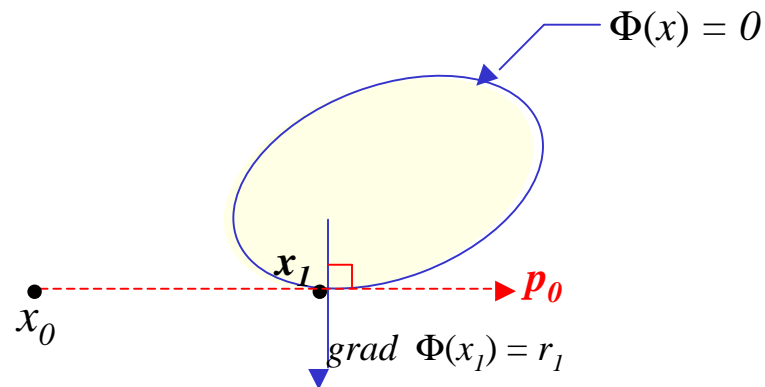
$$\dots \text{ En effet } \Phi'(x_1) = C x_1 - d = r_1$$

$$- r_1 \perp p_0$$

$$\dots r_1 = C x_1 - d = C (x_0 + t_0 p_0) - d = r_0 + t_0 C p_0$$

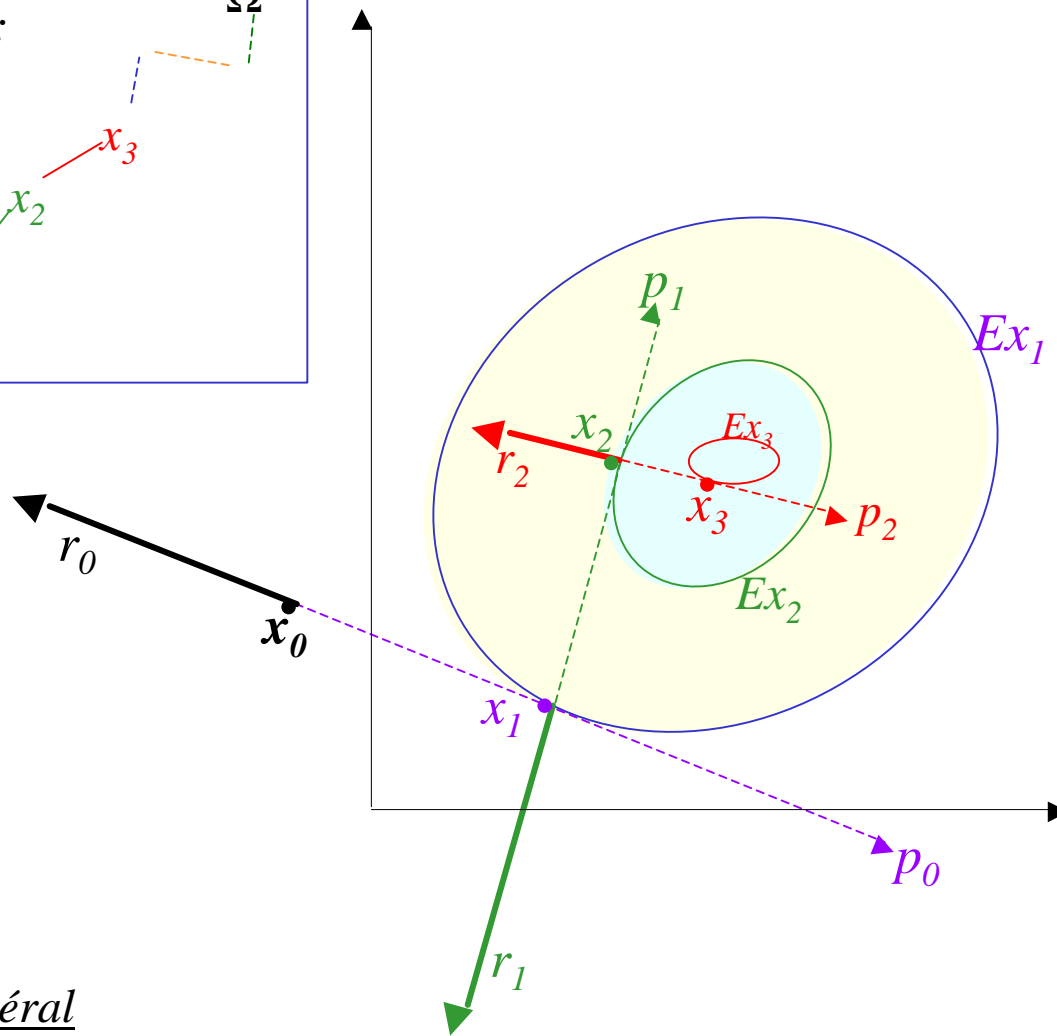
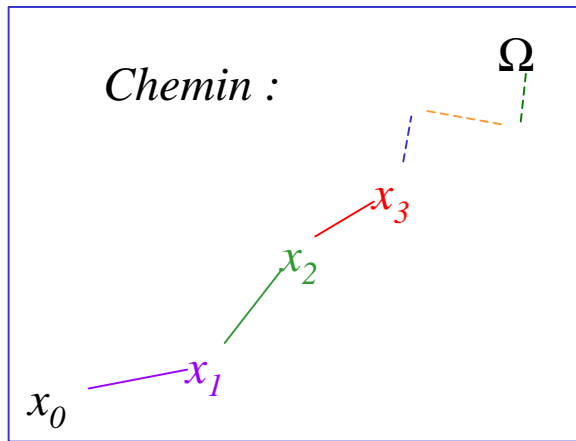
$$\text{P } p_0^T r_1 = p_0^T r_0 + t_0 p_0^T C p_0 = 0. \quad \dots d'après (3)$$

Ces deux propriétés impliquent que p_0 est tangent à l'ellipsoïde passant par x_1



2. DESCENTE RAPIDE (SD = *steepest descent*) :

Cas particulier de la méthode générale



p_0 tangent à Ex_1
 p_1 tangent à Ex_2
 p_2 tangent à Ex_3

...

$$\Leftrightarrow p_k \perp r_{k+1}$$

Cas général
 p_k non \perp à r_k

Cas particulier (SD)

$$p_k = -r_k$$

(cas de la figure)

Cas général

- x_0
 - $r_0 = C x_0 - d$
 - p_0 non \perp à r_0
 - $t_k = f(p_k) : x_{k+1} = x_k + t_k p_k$
choix \leftarrow
- $$t_k = -r_k^T p_k / (p_k^T C p_k)$$

- $r_{k+1} = r_k + t_k C p_k$

(et on vérifie que $r_{k+1}^T p_k = 0$.)

Cas particulier (Steepest Descent)

- x_0
- $r_0 = C x_0 - d$
- $p_0 = -r_0, \dots, p_k = -r_k^{(*)}$
- $x_{k+1} = x_k + t_k p_k$

avec $t_k = r_k^T r_k / (r_k^T C r_k)$

- $r_{k+1} = r_k + t_k C p_k$

(et on vérifie que $r_{k+1}^T p_k = 0$.)

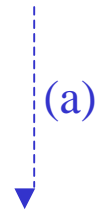
(*) *Justification :* $\Phi(x)$ est min. en Ω et $\text{grad } \Phi(x_k) = r_k$.
 Or le vecteur $\text{grad } \Phi$ est dirigé vers les valeurs de Φ **croissantes**.
 Pour aller vers le minimum il faut donc aller dans le sens opposé
 $\Rightarrow p_k = -r_k$, et t_k est évidemment ≥ 0 d'après son expression.
 On reste donc bien dans le bon sens.

3. GRADIENTS CONJUGUES (CG = *Conjugate Gradients*)

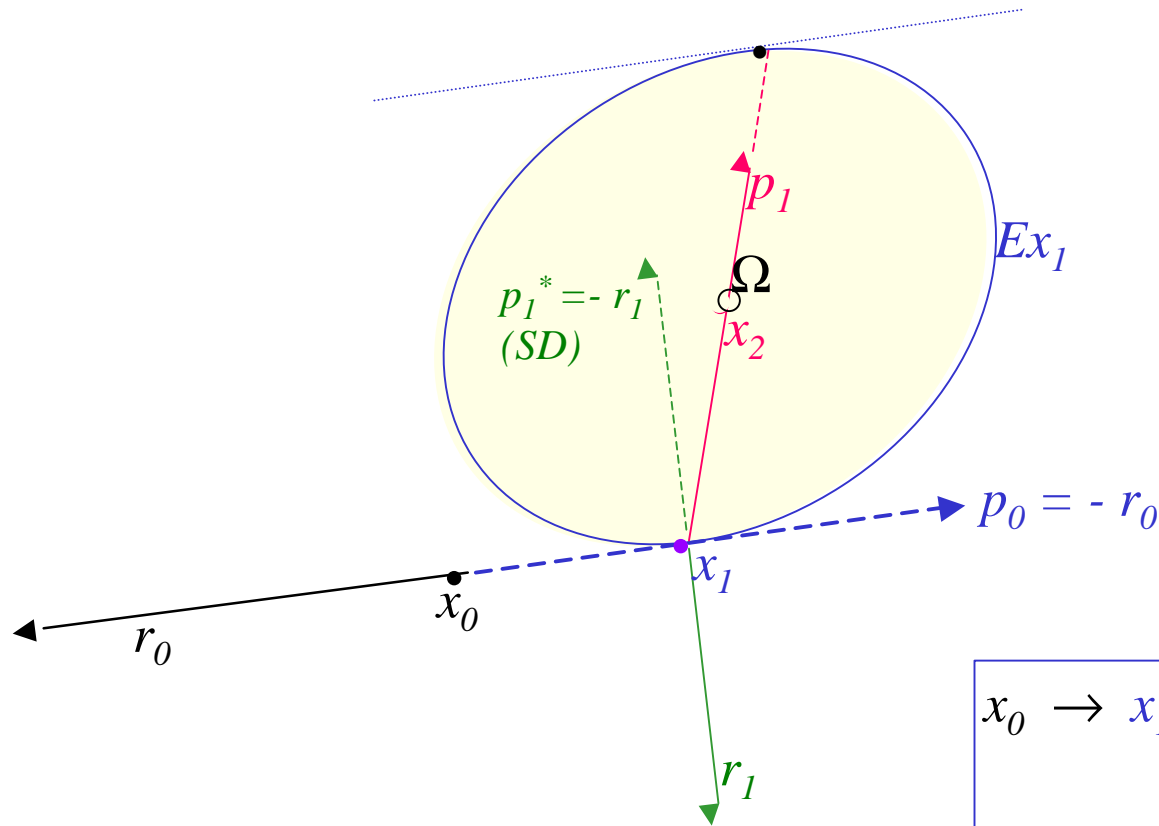
Principe : $p_0 = -r_0$
 $[p_{k-1}, p_k] : \text{conjugués}$



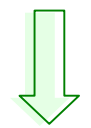
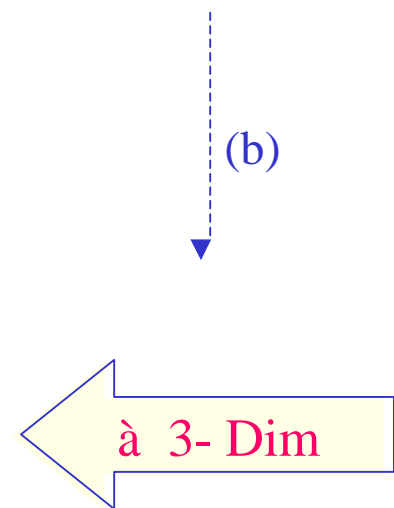
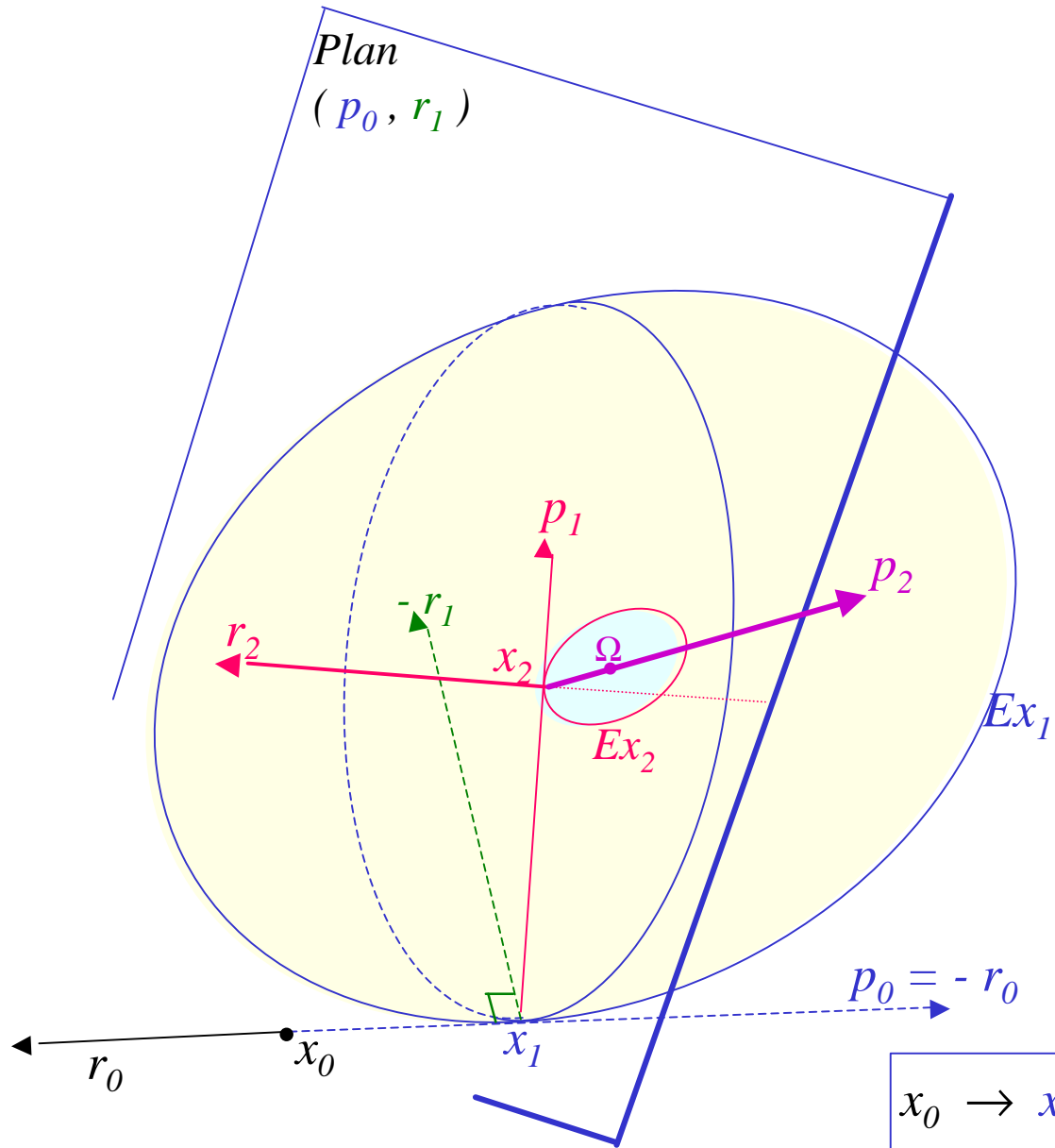
Exemples



à 2- Dim



$x_0 \rightarrow x_1 \rightarrow x_2$
 $\dots r_2 = 0$
 car $r_k \perp r_{k-j} (j > 0)$
 {voir ci-après}



Méthode semi-itérative : n étapes max. (en principe)

$x_0 \rightarrow x_1 \rightarrow x_2 \rightarrow x_3 = x_W$
 $\dots r_3 = 0$
 car $r_k \perp r_{k-j}$ ($j > 0$)
 {voir ci-après}

- x_0
- $r_0 = C x_0 - d$
- $p_0 = -r_0$ et $t_0 = r_0^T r_0 / (r_0^T C r_0) \Rightarrow x_1 = x_0 + t_0 p_0$
 $r_1 = C x_1 - d$
- $p_1 = -r_1 + a_1 p_0$ $p_k = -r_k + a_k p_{k-1}$ (i)
 avec $p_1^T C p_0 = 0$ (relation de conjugaison / C)
 $\Rightarrow a_1 = r_1^T C p_0 / (p_0^T C p_0)$ $a_k = r_k^T C p_{k-1} / (p_{k-1}^T C p_{k-1})$ (ii)
- le minimum, dans le plan (r_1, p_1) , est obtenu pour :
 $t_1 = -r_1^T p_1 / (p_1^T C p_1)$ $t_k = -r_k^T p_k / (p_k^T C p_k)$ (iii)
 (cf. éq. (3) avec indice « 1 » au lieu de « 0 »)

Propriétés :

- $r_{k+1} = C x_{k+1} - d = C (x_k + t_k p_k) - d \Rightarrow r_{k+1} = r_k + t_k C p_k$ (iv)
 $\Rightarrow p_k^T r_{k+1} = p_k^T r_k + t_k p_k^T C p_k = 0$ d'après (iii)

Donc $r_{k+1} \perp p_k$

Propriétés (suite) :

- De $r_{k+1} = r_k + t_k C p_k$, on déduit :

$$p_{k-1}^T r_{k+1} = \underbrace{p_{k-1}^T r_k}_{=0} + t_k \underbrace{p_{k-1}^T C p_k}_{\text{conjugaison} \Rightarrow =0} = 0$$

Donc $r_{k+1} \wedge p_{k-1}$

- $r_{k+1} \perp p_k$
 $r_{k+1} \perp p_{k-1}$ } donc $r_{k+1} \wedge r_k$, d'après (i)

- De même : $r_{k+1} \perp r_{k-1}$
 $r_{k+1} \perp r_{k-2}$
 ... } $\{r_0, r_1, r_2, \dots, r_{n-1}\}$ indépendants
 ... et donc $r_n = 0$ (*)
 $\Leftrightarrow x_n = x_W$

 **NOMBRE FINI D'ETAPES**

(*) Plus généralement : $r_{rang C} = 0$

Autres expressions de t_k et \mathbf{a}_k ($k > 0$)

$$\bullet t_k = -r_k^T p_k / (p_k^T C p_k) = -r_k^T (-r_k + \mathbf{a}_k p_{k-1}) / (p_k^T C p_k)$$

$$\text{Donc } t_k = r_k^T r_k / (p_k^T C p_k)$$

$$\bullet \mathbf{a}_k = r_k^T C p_{k-1} / (p_{k-1}^T C p_{k-1}) = r_k^T (1/t_{k-1}) (r_k - r_{k-1}) / [p_{k-1}^T (1/t_{k-1}) (r_k - r_{k-1})]$$

... d'après (iv)

$$\text{Donc } \mathbf{a}_k = -r_k^T r_k / (p_{k-1}^T r_{k-1})$$

Une autre expression peut aussi être utilisée .

En effet, de $p_k = -r_k + \mathbf{a}_k p_{k-1}$ on déduit :

$$r_k^T p_k = -r_k^T r_k + \mathbf{a}_k r_k^T \underbrace{p_{k-1}}_{=0}$$

$$\text{i.e. } r_k^T p_k = -r_k^T r_k$$

$$\text{D'où } \mathbf{a}_k = r_k^T r_k / (r_{k-1}^T r_{k-1})$$

Résumé : C.G.

- x_0
- $r_0 = C x_0 - d$
- $p_0 = -r_0$

$$k > 0 : \quad \left| \begin{array}{l} \mathbf{a}_k = r_k^T r_k / (r_{k-1}^T r_{k-1}) \\ \\ p_k = -r_k + \mathbf{a}_k p_{k-1} \end{array} \right.$$

$$k \geq 0 : \quad \left| \begin{array}{l} t_k = r_k^T r_k / (p_k^T \underline{C p_k}) \\ \\ x_{k+1} = x_k + t_k p_k \\ \\ r_{k+1} = r_k + t_k \underline{C p_k} \end{array} \right. \quad h_k = C p_k$$

Algorithme C.G. - matrice C s.d.p.

- I-O : $C(I, \cdot)$: matrice s.d.p.
 $d(I, \cdot)$: vecteur second membre
 $\#iter(I, \cdot)$: nombre max. d'itérations
 $x_i(I, O)$: x_0 solution initiale, x_i solution à l'étape $[i]$
 $rtr(\cdot, O)$: carré de la norme des résidus

-
- Algo : $r_0 = C \cdot x_i - d$: $r_0 = C x_0 - d$
 $rtr = r_0^T \cdot r_0$
 $p_0 = -r_0$

! *Itérations*

```

do i = 0 → #iter
  if i > 0 then
    (rtr)old = rtr
    rtr = riT • ri
    αi = rtr / (rtr)old
    pi = - ri + αi . p[i-1]
  endif
  hi = C • pi
  ti = rtr / (piT • hi)
  x[i+1] = xi + ti . pi :  $x_{i+1} = x_i + t_i p_i \rightarrow$  test de convergence
                          (peut nécessiter un vecteur supp. x[i+1])
  r[i+1] = ri + ti . hi
end do i

```

*remplaçable par un
test de convergence
(ϵ donné)*

$\#iter < n$

L'avantage est évidemment d'avoir un nombre effectif d'itérations, n_{iter} très inférieur à n , car le nombre d'opérations est de l'ordre de $n^2 \cdot n_{iter}$...

4. ADAPTATION DE C.G. AUX EQUATIONS D'OBSERVATION (résolution par moindres carrés)

31

Equations d'observation : $Ax - b = v$ (v : vecteur des résidus)

+ condition : $v^T v$ minimum

↳ Equations normales : $A^T A x - A^T b = A^T v = 0$

(vecteur résidu orthogonal
aux vecteurs-colonnes de A)

Donc : $A^T A x = A^T b$

ou : $C x = d$

N.B.

$$A \leftarrow \underbrace{\sqrt{\Pi}}_{\text{poids}} A$$

Dans le cadre C.G. on a :

- $r_0 = C x_0 - d = (A^T A) x_0 - A^T b = A^T (A x_0 - b) = A^T v_0$
- $r_{k+1} = A^T v_{k+1}$ (démonstration identique)
- $v_{k+1} = A x_{k+1} - b = A(x_k + t_k p_k) - b$
 $= A x_k - b + t_k A p_k = v_k + t_k A p_k$
- $p_k^T C p_k = p_k^T A^T A p_k = (A p_k)^T (A p_k)$

***Ceci permet d'appliquer la méthode C.G. directement aux équations d'observation
sans avoir à calculer la matrice normale !***

$$\begin{aligned}
 k = 0 & \dots\dots\dots x_0 \rightarrow v_0 = A x_0 - b \\
 & r_0 = A^T v_0 \\
 & p_0 = -r_0 \\
 \\
 k > 0 & \dots\dots\dots \mathbf{a}_k = r_k^T r_k / (r_{k-1}^T r_{k-1}) \\
 & p_k = -r_k + \mathbf{a}_k p_{k-1} \\
 \\
 k \geq 0 & \dots\dots\dots t_k = r_k^T r_k / (A p_k)^T (A p_k) \\
 & x_{k+1} = x_k + t_k p_k \\
 & v_{k+1} = v_k + t_k (A p_k) \\
 & r_{k+1} = A^T v_{k+1}
 \end{aligned}$$



- on évite le calcul de $C = A^T A$
- 2 produits Matrice * vecteur : $A p_k$ et $A^T v_{k+1}$ à chaque itération
- ... mais nécessite de stocker A , ou de recalculer chaque ligne (pour chaque observation) à chaque itération.

N.B. $|v_k|$ décroît de manière monotone. En effet :

$$\begin{aligned}
 v_{k+1}^T v_{k+1} &= (v_k + t_k A p_k)^T (v_k + t_k A p_k) \\
 &= v_k^T v_k + 2 t_k v_k^T A p_k + t_k^2 (A p_k)^T (A p_k) \\
 \text{Or : } v_k &= v_{k+1} - t_k A p_k \text{ et } r_{k+1}^T p_k = 0 \\
 \textcircled{R} |v_{k+1}|^2 &= |v_k|^2 - t_k^2 (A p_k)^T (A p_k) + 2 t_k \underbrace{(v_{k+1}^T A)}_{(r_{k+1})^T} p_k \dots\dots\dots \text{(QED)} \\
 & \hspace{15em} \rightarrow \text{terme nul}
 \end{aligned}$$

III - APPLICATIONS : cadre GINS-DYNAMO et modèles de géopotentiel

1. RAPPELS

C_{lm}, S_{lm} normalisés ; $0 \leq m \leq l$; $S_{l0} = 0$.

Ordonnements usuels des indices l (degré) et m (ordre) :

(i) $l = 2$ à L , $m=0$ à l , C, S, C, S , etc...

(ii) $m=0$ à L , $l = \sup(m,2)$ à L , ou $l_1(m)$ à $l_2(m) \leq L$
..... , C, S, C, S , etc...

(iii) . tous les C_{lm} : $m=0$ à L $\left\{ \begin{array}{l} l \text{ pair} : l_1(m) \text{ à } l_2(m), \text{ pas} = 2 \\ l \text{ impair} : l_1(m) \text{ à } l_2(m), \text{ pas} = 2 \end{array} \right.$

. tous les S_{lm} : $m=1$ à L $\left\{ \begin{array}{l} l \text{ pair} \\ l \text{ impair} \end{array} \right. \quad \text{comme pour les } C_{lm}$

Avantage de (iii) : si le système normal, $Cx = d$, résulte :

DYNAMO- - d'équations d'observations pour une grille géographique régulière en *lat-long*
-L3 → (ex: grille de données de surface, de valeurs de $F(\text{pot.})$ sur une sphère externe -
cf. méthode « *space-wise* »), et ceci avec pondération $\Pi(\text{lat})$,

MANEGE → - ou d'équations d'observations régulièrement réparties sur une orbite répétitive,
alors **C est bloc-diagonale**.

Une telle matrice **C** ayant cette structure sera notée **N**

(**N** comme « normale », et comme Neumann qui découvrit cette forme)

Structure de la matrice normale **N**

- p** blocs avec l pair
- i** blocs avec l impair

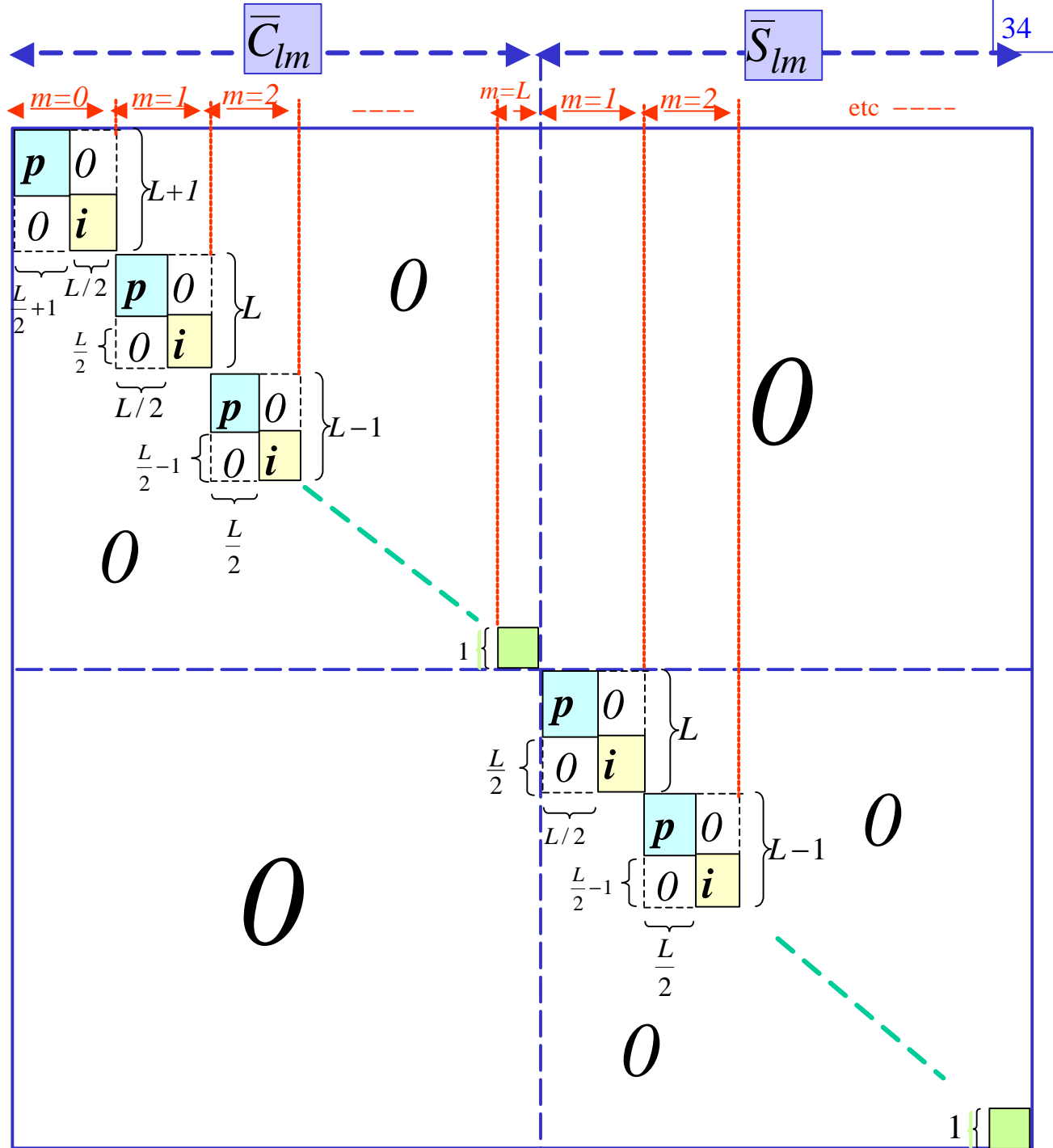
$$N_{l_1 l_2 m}^{CC} = N(\bar{C}_{l_1 m} \mid \bar{C}_{l_2 m})$$

(l_1, l_2 : même parité)

$$N_{l_1 l_2 m}^{SS} = N(\bar{S}_{l_1 m} \mid \bar{S}_{l_2 m})$$

(id.)

Chaque (sous-)bloc est évidemment symétrique



Hypothèses

- . on adopte le mode de rangement (iii)
- . les inconnues autres que les (C_{lm}, S_{lm}) sont en début ou en fin du vecteur $x \dots$ ou bien l'on a réduit le(s) système(s) pour n'avoir que les (C_{lm}, S_{lm}) comme inconnues
- . on écrit $C = N + N^*$, avec N : bloc-diagonale

Conclusion

- On peut se servir de N pour :
- . un algorithme de Jacobi par blocs
 - . préconditionner le système afin d'améliorer la convergence de tout processus (semi-) itératif.

2. METHODE DE JACOBI PAR BLOCS (BJ)

Avec les notations du chapitre I de cette seconde partie, on prend :

$$A = C, \quad b = d$$

$$M = N$$

$$M - A = N - C = -N^*$$

d'où le processus : $N x_{k+1} = -N^* x_k + d \iff N(x_{k+1} - x_k) = -r_k$

Avantages : . en général on a $\|N^*\| \ll \|N\|$, d'où CV rapide.

- . N étant bloc-diagonale, résolution facile des systèmes intermédiaires (de plus, chaque bloc est s.d.p. \rightarrow triangulation par Cholesky)

Algorithme B.J. (Jacobi par blocs)

- I-O : $C(I, .)$: matrice s.d.p.
- $d(I, .)$: vecteur second membre
- $N(I, .)$: partie bloc-diagonale de C
- $\#iter(I, .)$: nombre max. d'itérations
- $x_i(I, O)$: x_0 solution initiale (par ex. $x_0 = 0.$),
 x_i solution à l'étape $[i]$
- $rtr(. , O)$: carré de la norme des résidus

remplaçable par un test de convergence (ϵ donné)

• Algo : $r0 = C \cdot x0 - d$

! Itérations

do $i=0 \rightarrow \#iter$

$rtr = r_i^T \cdot r_i$

$dxi = \text{Solution de } [N \cdot dxi = -ri]$ calcul de la solution à chaque fois, ou calcul de N^{-1} au début, puis produits $N^{-1} \cdot (-ri)$ ensuite

$x[i+1] = x_i + dxi$: $x_{i+1} = x_i + D x_i \rightarrow \text{test de convergence}$

(peut nécessiter un vecteur supp. $x[i+1]$)

$r[i+1] = r_i + C \cdot dxi$

end do i

$\#iter < n$

Comme pour l'algorithme C.G., un nombre effectif d'itérations, n_{iter} , très inférieur à n , doit être capable de résoudre le système avec la précision voulue

3. GRADIENTS CONJUGUES PRECONDITIONNES (PCG)

Théorème

Le rayon spectral, r_{CG} , de la méthode CG est :

$$r_{CG} = \left[\frac{1 - \bar{\alpha}_n}{1 + \bar{\alpha}_n} \right]^2$$

avec $\alpha_n = |l_{\max} / l_{\min}|$; l_i : valeurs propres de C .

Donc si n est grand, la CV est très mauvaise

IDEE . on remplace $Cx = d$ par $N^{-1}Cx = N^{-1}d$, i.e. $\bar{C}x = \bar{d}$
avec $C = N + N^*$

▲ bloc-diagonale suivant rangement (iii)

• résultat : $\bar{\alpha}_n \ll \alpha_n$ [Ⓜ] CV accélérée
→ en général

En effet :

Si $N \approx C$, (N sera dite représentative de C), alors $N^{-1} \cdot C \approx I$

$$\Rightarrow l_{\max} \text{ et } l_{\min} \approx 1. \Rightarrow \bar{\alpha}_n \lesssim 1. \text{ et } r_{PCG} \approx 0. \quad !$$

On peut résoudre $\bar{C}x = \bar{d}$ directement avec l'algorithme CG classique si N^{-1} est rapide à calculer et $N^{-1}C$ rapide à former (ce qui est le cas si N est bloc-diagonale), ou bien appliquer à $Cx = d$ un algorithme spécial qui réalise PCG implicitement.

Ⓜ voir démonstration qui suit

Transformation de CG en PCG implicite, et formules associées

- **Décomposition** (Cholesky) *pour expliquer les transformations (non requise dans la pratique)*

$$N = U^T U \quad (U : \text{triangle sup. , par exemple})$$

$$N^{-1} = U^{-1} U^{-T} \quad , \text{ avec } U^{-T} = (U^{-1})^T$$

$$\text{P } N^{-1} C x = N^{-1} d \quad \text{s'écrit : } U^{-1} U^{-T} C (U^{-1} U) x = U^{-1} U^{-T} d$$

$$\text{d'où : } \underbrace{(U^{-T} C U^{-1})}_{\tilde{C}} \underbrace{U}_{\tilde{x}} = \underbrace{U^{-T} d}_{\tilde{d}}$$

$$\tilde{C} \tilde{x} = \tilde{d}$$

$$\text{Puisque } \bar{C} = N^{-1} C = U^{-1} U^{-T} C \quad , \text{ on a : } \bar{C} = U^{-1} \tilde{C} U$$

↳ \bar{C} et \tilde{C} sont semblables

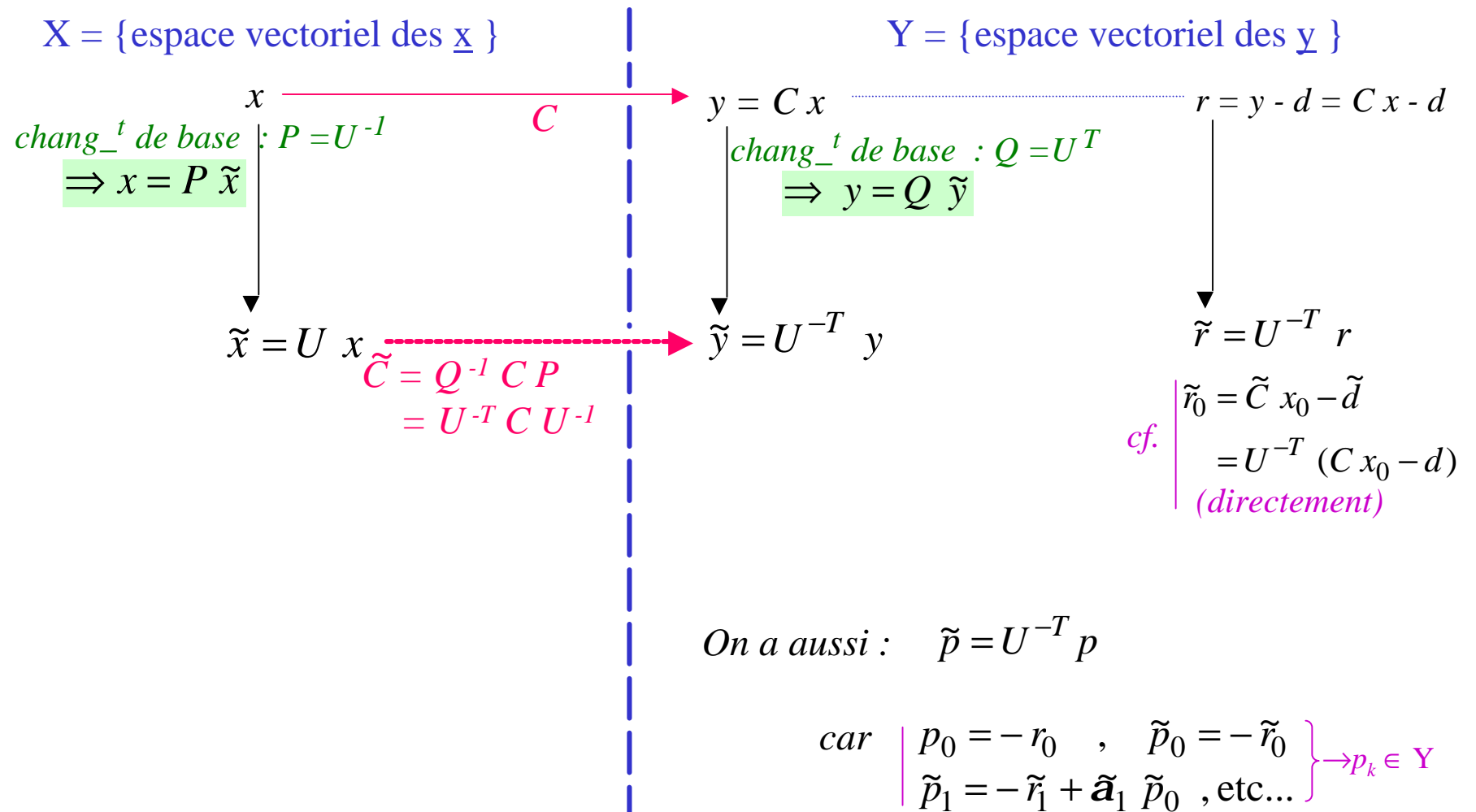
et ont donc les mêmes valeurs propres

$$\text{P } \bar{n} = \tilde{n}$$

Donc l'algorithme portera sur $\tilde{C} \tilde{x} = \tilde{d}$

- On va travailler :
- dans l'espace vectoriel des paramètres , avec les bases \tilde{x} et \tilde{x}
 - dans l'espace vectoriel des résidus , avec les bases \tilde{d} et \tilde{d}

- Transformation



On va ensuite appliquer les formules de base de C.G. au système $\tilde{C} \tilde{x} = \tilde{d}$,
d'où ...

• Formules associées

$$(i) \quad x_{k+1} = U x_{k+1} = \tilde{x}_k + \tilde{t}_k \tilde{p}_k = U x_k + t_k U^{-T} p_k \Rightarrow x_{k+1} = x_k + \tilde{t}_k N^{-1} p_k$$

$$(ii) \quad \tilde{r}_{k+1} = U^{-T} r_{k+1} = \tilde{r}_k + \tilde{t}_k \tilde{C} \tilde{p}_k = U^{-T} r_k + \tilde{t}_k \underbrace{U^{-T} C U^{-1} U^{-T}}_{N^{-1}} p_k$$

$$\text{donc :} \quad r_{k+1} = r_k + \tilde{t}_k \underbrace{U^T U^{-T} C}_{Id} N^{-1} p_k \Rightarrow r_{k+1} = r_k + \tilde{t}_k C N^{-1} p_k$$

$$\cdot \quad \tilde{p}_k = -\tilde{r}_k + \tilde{\mathbf{a}}_k \tilde{p}_{k-1} \dots \dots \dots \Rightarrow p_k = -r_k + \tilde{\mathbf{a}}_k p_{k-1}$$

$$(iii) \quad \tilde{r}_k^T \tilde{r}_k = r_k^T \underbrace{U^{-1} U^{-T}}_{N^{-1}} r_k \dots \dots \dots \Rightarrow \tilde{r}_k^T \tilde{r}_k = r_k^T \mathbf{r}_k$$

avec : $\mathbf{r}_k = N^{-1} r_k$ ●

$$\tilde{p}_k^T \tilde{C} \tilde{p}_k = p_k^T \underbrace{U^{-1} U^{-T}}_{N^{-1}} \tilde{C} \underbrace{U^{-1} U^{-T}}_{N^{-1}} p_k \dots \dots \dots \text{On pose : } \Pi_k = N^{-1} p_k \quad \bullet$$

$$= \Pi_k^T (C \Pi_k) = \Pi_k^T \underline{h}_k \dots \dots \dots \text{On pose : } \underline{h}_k = C \Pi_k \quad \bullet$$

$$(iv) \quad \Pi_0 = N^{-1} p_0 = -N^{-1} r_0 = -\mathbf{r}_0 \dots \dots \dots \Rightarrow \Pi_0 = -\mathbf{r}_0$$

$$\Pi_k = N^{-1} (-r_k + \tilde{\mathbf{a}}_k p_{k-1}) \dots \dots \dots \Rightarrow \Pi_k = -\mathbf{r}_k + \tilde{\mathbf{a}}_k \Pi_{k-1}$$

$$\Rightarrow \left\{ \begin{array}{l} \tilde{t}_k = \tilde{r}_k^T \tilde{r}_k / (\tilde{p}_k^T \tilde{C} \tilde{p}_k) = r_k^T \mathbf{r}_k / (\Pi_k^T \underline{h}_k) \quad \bullet \\ \tilde{\mathbf{a}}_k = \tilde{r}_k^T \tilde{r}_k / (\tilde{r}_{k-1}^T \tilde{r}_{k-1}) = r_k^T \mathbf{r}_k / (r_{k-1}^T \mathbf{r}_{k-1}) \quad \bullet \end{array} \right.$$

Algorithme de PCG

- I-O : $C(I, .)$: matrice s.d.p.
 $d(I, .)$: vecteur second membre
 $N(I, .)$: matrice bloc-diagonale, ou matrice générale de préconditionnement
 $\#iter(I, .)$: nombre max. d'itérations
 $x_i(I, O)$: x_0 solution initiale, x_0 (par ex. $x_0 = 0.$) ; x_i solution à l'étape $[i]$
 $rtp(. , O)$: carré de la norme des résidus

-
- Algo : $r_0 = C \cdot x_0 - d \implies p_0 = \text{Solution de } \{ N \cdot p_0 = r_0 \}^*$
 $rtp = r_0^T \cdot p_0$
 $\Pi_0 = -p_0$

! Itérations

```

do i=0 → #iter      #iter < n
  if i > 0 then
    (rtp)old = rtp
    rtp = riT • pi
    α̃i = rtp / (rtp)old
    Πi = -pi + α̃i . Π [i-1]
  endif
  hi = C • Πi
  t̃i = rtp / (ΠiT • hi)
  x[i+1] = xi + t̃i . Πi → test de convergence
  r[i+1] = ri + t̃i . hi
  ρ[i+1] = Solution de { N • ρ[i+1] = r[i+1] }*
end do i

```

remplaçable par un
test de convergence
(ϵ donné)

≡ Algo. CG
si $N=N^{-1}=I$
car alors :

$$\begin{aligned}
 r_k &= \mathbf{r}_k \\
 h_k &= \underline{h}_k \\
 p_k &= \mathbf{P}_k \\
 \mathbf{a}_k &= \tilde{\mathbf{a}}_k \\
 t_k &= \tilde{t}_k
 \end{aligned}$$

* Il peut être avantageux, si N^{-1} est très rapide à calculer et/ou si #iter est grand, de pré-calculer N^{-1} et d'effectuer les produits $N^{-1} r_0, N^{-1} r_1, N^{-1} r_2, \dots$. Si N^{-1} n'existe pas, choisir un algorithme de résolution de $N \mathbf{r} = r$ qui soit de norme minimum (par ex., "Cholesky étendu").

4. ADAPTATIONS DE "BJ" ET DE "PCG" POUR LE TRAITEMENT DIRECT DES EQUATIONS D'OBSERVATION.

D'après II.4 , on doit faire les changements suivants :

$$\begin{array}{l}
 C x = d \quad \rightarrow \quad A x - b = v \\
 r_0 = C x_0 - d \quad \rightarrow \quad \left\{ \begin{array}{l} v_0 = A x_0 - b \\ r_0 = A^T v_0 \end{array} \right.
 \end{array}$$

- "BJ" modifié

$$r_{i+1} = r_i + C D x_i \quad \rightarrow \quad \left\{ \begin{array}{l} v_{i+1} = v_i + A D x_i \\ r_{i+1} = A^T v_{i+1} \end{array} \right.$$

- "PCG" modifié

$$\begin{array}{l}
 \underline{h}_i = C P_i \quad \rightarrow \quad \left\{ \begin{array}{l} \underline{g}_i = A P_i \\ \underline{h}_i = A^T \underline{g}_i \end{array} \right. \\
 \tilde{t}_i = r^T \mathbf{r} / (P_i^T \underline{h}_i) \quad \rightarrow \quad \left\{ \begin{array}{l} \tilde{t}_i = r^T \mathbf{r} / (g_i^T g_i) \end{array} \right.
 \end{array}$$

$$\begin{array}{l}
 x_{i+1}, r_{i+1} \quad \rightarrow \quad \left\{ \begin{array}{l} idem \\ v_{i+1} = v_i + \tilde{t}_i g_i \end{array} \right.
 \end{array}$$

... et utilisation
de N

5. METHODES "BJ-Comb" et "PCG-Comb" dans un contexte de parallélisation.

Soit $J + K$ groupes d'observations :

$$\begin{array}{l}
 \text{J groupes} \\
 \text{d'éq. d'observation}
 \end{array}
 \left\{ \begin{array}{l} A_1 x - b_1 = v_1 \\ \vdots \\ A_J x - b_J = v_J \end{array} \right.
 \quad
 \begin{array}{l}
 \text{K groupes} \\
 \text{d'éq. normales}
 \end{array}
 \left\{ \begin{array}{l} C_1 x - d_1 = 0 \\ \vdots \\ C_K x - d_K = 0 \end{array} \right.$$

$$\Leftrightarrow C x = d \quad \text{avec} \quad \left| \begin{array}{l} C = \sum_{u=1}^J A_u^T A_u + \sum_{w=1}^K C_w \\ d = \sum_{u=1}^J A_u^T b_u + \sum_{w=1}^K d_w \end{array} \right.$$

DYNAMO-C

On suppose toujours que :

- le rangement des (C_{lm}, S_{lm}) est de type (iii)
- $C = N + N^*$ avec N : bloc-diagonale, ou bien N est une matrice (simple à inverser) "représentative" de C , par ex :

$$N = \tilde{C} = \sum_u A_u^T A_u + \sum_w C_w, \text{ avec } \text{card}\{u\} \ll J$$

$$\text{card}\{w\} \ll K$$



Possibilité de rechercher la solution pour ces systèmes mixtes, directement et en utilisant $J+K$ processeurs

"BJ-Comb"

"PCG-Comb"

cf. séquences
{ ... }//

Algorithme "B.J.- Comb"

- I-O : $J, K (I, .)$: nombres de groupes de matrices A et C, respectivement
- $A_u (I, .)$: J matrices d'observation
- $b_u (I, .)$: J vecteurs seconds membres des équations d'observation
- $C_w (I, .)$: K matrices normales
- $d_w (I, .)$: K vecteurs seconds membres des équations normales
- $N (I, .)$: partie "représentative" de C, peut être bloc-diagonale
- $\#iter (I, .)$: nombre max. d'itérations
- $xi (I, O)$: x_0 solution initiale (par ex. $x_0 = 0.$),
 x_i solution à l'étape [i]
- $rtr(. , O)$: carré de la norme des résidus = $r^T r$, pour les J+K groupes

remplaçable par un test de convergence (e donné)

- Algo : $r_0 (= r_\theta)$: $\left\{ \begin{array}{l} v_{u,0} = A_u \cdot x_0 - b_u \\ r_{u,0} = A_u^T \cdot v_{u,0} \end{array} \right\}_{u=1, \dots, J}$ ----- $\left\{ r_{w,0}^n = C_w \cdot x_0 - d_w \right\}_{w=1, \dots, K}$
- ! Itérations
- do** $i = 0 \rightarrow \#iter$
- $rtr = ri^T \cdot ri$: = somme sur les $r_{u,i}$ et $r_{w,i}$ ($u = 1$ à J ; $w = 1$ à K)
- $dxi = \text{Solution de } [N \cdot dxi = -ri]$ calcul de la solution à chaque fois, ou calcul de N^{-1} au début, puis produits $N^{-1} \cdot (-ri)$ ensuite
- $x[i+1] = xi + dxi$: $x_{i+1} = x_i + D x_i \rightarrow \text{test de convergence}$
- $r[i+1]$: $\left\{ \begin{array}{l} v_{u,i+1} = v_{u,i} + A_u \cdot dxi \\ r_{u,i+1} = A_u^T \cdot v_{u,i+1} \end{array} \right\}_{u=1, \dots, J}$ ----- $\left\{ r_{w,i+1}^n = r_{w,i}^n + C \cdot dxi \right\}_{w=1, \dots, K}$
- end do** i

Remarque : notation r^n pour les résidus des systèmes normaux, pour les distinguer (à cause de l'indice) de ceux des autres systèmes normaux (non formés) associés aux équations d'observation.

Algorithme "P.C.G.- Comb"

- I-O : $J, K (I, .)$: nombres de groupes de matrices A et C, respectivement
 - $A_u (I, .)$: J matrices d'observation
 - $b_u (I, .)$: J vecteurs seconds membres des équations d'observation
 - $C_w (I, .)$: K matrices normales
 - $d_w (I, .)$: K vecteurs seconds membres des équations normales
 - $N (I, .)$: partie "représentative" de C , peut être bloc-diagonale
 - $\#iter (I, .)$: nombre max. d'itérations
 - $xi (I,O)$: x_0 solution initiale (par ex. $x_0 = 0.$),
 x_i solution à l'étape [i]
-
- rtp(., O) : carré de la norme des résidus d'ajustement ,
 = résidus des équations "normales" (réelles ou virtuelles)
 pour les J+K groupes
 - $v_{u,i}$: résidus des J groupes d'observations

idem
"BJ-Comb"

Remarque : Tout comme pour "B.J.-Comb", nous noterons r^n les résidus des systèmes normaux, pour les distinguer (à cause de l'indiciage) de ceux des autres systèmes normaux (non formés) correspondant aux systèmes d'équations d'observation.

- Algo : → *planche suivante ...*

Algorithme "P.C.G.- Comb" (suite et fin)

• Algo : $r_0 \rightarrow \left\{ \begin{array}{l} v_{u,0} = A_u \cdot x_0 - b_u \\ r_{u,0} = A_u^T \cdot v_{u,0} \end{array} \right\}_{u=1, \dots, J} \dots \dots \dots \left\{ \begin{array}{l} r_{w,0}^n = C_w \cdot x_0 - d_w \end{array} \right\}_{w=1, \dots, K}$

$\rightarrow \left\{ \begin{array}{l} \rho_0 = \text{solution de } \{ N \rho_0 = r_0 \}^* \\ r_{tp} = r_0^T \cdot \rho_0 \\ \Pi_0 = -\rho_0 \end{array} \right.$

! Itérations

```

do i= 0 → #iter
  if i > 0 then
    (rtp)old = rtp
    rtp = riT • ρi  -----> somme sur les ru,i et rw,i (u= 1 à J ; w=1 à K) <-----
    ᾱi = rtp / (rtp)old
    Πi = -ρi + ᾱi . Π [i-1]
  endif
  { gu,i = Au • Πi }_{u=1, ... J} ----- { hw,i = Cw • Πi }_{w=1, ... K}
  { hu,i = AuT • gu,i }_{u=1, ... J}
  t̄i = rtp / ( ∑u=1u=J gu,iT • gu,i + ∑w=1w=K ΠiT • hw,i )
  x[i+1] = xi + t̄i . Πi → test de convergence
  r[i+1] : { vu,i+1 = vu,i + t̄i gu,i }_{u=1, ... J} ----- { rw,i+1n = rw,in + t̄i hw,i }_{w=1, ... K}
  { ru,i+1 = ru,i + t̄i hu,i }_{u=1, ... J}
  ρ[i+1] = Solution de { N • ρ[i+1] = r[i+1] }^*
end do i
  
```

*calcul de la solution à chaque fois, ou calcul de N⁻¹ au début, puis produits N⁻¹ • r_i ensuite
 ----- Fin de l'algorithme -----

1 Systèmes singuliers et gradients conjugués (CG)

$$\begin{aligned} \text{Soit le problème : } & C x = d \\ \text{avec : } & x^T x : \text{minimum} \end{aligned}$$

\implies On minimise la fonctionnelle : $\Theta(x, \lambda) = x^T x - 2 \lambda^T (Cx - d)$
 $\lambda \rightarrow$ multiplicateurs de Lagrange

$$\begin{aligned} \partial \Theta / \partial x = 0 & \implies x = C^T \lambda \\ \implies x & \in \text{espace vect. \{ lignes de } C \}} \end{aligned}$$

N.B. Si $C = A^T A$, $x = A^T \underbrace{A \lambda}_{\mu} = A^T \mu \implies x \in \text{espace vect. \{ lignes de } A \}}$
... et r_k également.



C.G. fournit automatiquement la solution de norme minimum
du problème de moindres carrés
(donc on obtient cette solution même si C^{-1} n'existe pas)

② Stabilisation par des lois de type "Kaula" :

- application habituelle (chaîne DYNAMO) sur les systèmes normaux
- peut aussi se faire sur les équations d'observation en écrivant :

$$(\Delta C_{lm}, \Delta S_{lm}) = 0 \pm \alpha / l^2$$

③ Obtention des variances et des covariances de la solution :

- problèmes de potentiel gravitationnel (avec harmoniques sphériques) :
une estimation satisfaisante peut être obtenue à partir de l'inverse de la matrice de préconditionnement N (bloc-diagonale), l'inverse exacte de C n'étant calculée
- si c'est possible, que pour la solution finale.
- problème quelconque,
... ou nécessité d'avoir la matrice de covariance exacte :
la possibilité dépend de la puissance de calcul !!!



ET VOILA LA SOLUTION !

FIN